

Исследование структуры и свойств

Физические методы исследования и контроля

УДК 539.26.01

ИССЛЕДОВАНИЕ ВЛИЯНИЯ СТАТИСТИЧЕСКОЙ ЗАВИСИМОСТИ ЭЛЕМЕНТОВ ВЫБОРКИ ПРИ EBSD ИЗМЕРЕНИЯХ НА ПОГРЕШНОСТЬ ВЫЧИСЛЕНИЯ ФУНКЦИИ РАСПРЕДЕЛЕНИЯ ОРИЕНТАЦИЙ

© А. О. Антонова, Т. И. Савелова¹

Статья поступила 26 мая 2014 г.

Проведено моделирование статистически зависимых ориентаций специализированным методом Монте-Карло для центрального нормального распределения (ЦНР). Результаты статистического моделирования, сглаженные ядерным методом, представлены в виде трехмерных поверхностей. Сравниваются количественные характеристики функций распределений ориентаций (ФРО): смещение координат максимума ФРО, увеличение значения максимума, отклонение от точной ФРО в метриках L_1 и L_2 . Проверена гипотеза о совпадении смоделированной плотности распределения ориентаций с точной с помощью критерия согласия χ^2 для полюсных фигур (ПФ).

Ключевые слова: метод EBSD; специализированный метод Монте-Карло; функция распределения ориентаций (ФРО); статистическая зависимость ориентаций.

В последние годы активно развиваются методы электронной микроскопии, в частности метод дифракции отраженных электронов (EBSD — Electron Back Scattering Diffraction) [1, 2]. Одним из преимуществ данного метода является возможность получать большое количество измерений (порядка $10^4 - 10^7$) отдельных кристаллографических ориентаций. Кроме того, метод предоставляет обширную информацию о локальной текстуре материала (микротекстуре): позволяет изучать размеры зерен, границы между зернами,

углы разориентации между соседними зернами и глобальную текстуру (макротекстуру). Последнее обстоятельство дает возможность вычислять ФРО и различные ПФ непосредственно из ориентаций отдельных зерен, а не измерений ПФ, получаемых рентгеновским или другими методами [3 – 6]. В настоящее время проводятся исследования, посвященные достоверности получаемых результатов на основе измерений EBSD-техники. В работах [7, 8] отмечено наличие статистической зависимости при получении ориентировок зерен. В [9 – 12] рассматриваются некоторые вопросы выбора параметров при EBSD измерениях и их влияние на погрешность вычисления ПФ и ФРО.

В настоящей работе исследуется влияние статистической зависимости ориентировок в выборке на погрешность вычисления функции распределения ориентаций. Одной из причин появления статистической зависимости является наличие неиндексируемых областей, т.е. областей, в которых при проведении эксперимента не удается определить направления ориентаций. На рис. 1 неиндексируемые области указаны черным цветом ([5], с. 158). Наличие таких областей может быть связано с плохой подготовкой или деформацией образца; ориентировки также плохо определяются на границах зерен. Неиндексируемым областям присваиваются усредненные значения соседних ори-

¹ Национальный исследовательский ядерный университет «МИФИ», Москва, Россия; e-mail: aoantonova@mail.ru



Рис. 1. Неиндексируемые области (EBSD карта стали)

ентировок. Таким образом, усреднение соседних ориентировок в неиндексируемых областях является одним из факторов появления статистической зависимости между ориентировками. Факт статистической зависимости возникает и при получении ориентации зерна путем усреднения ориентировок, попавших внутрь зерна [1, 2]. Каждый из указанных аспектов измерений влияет на точность результата эксперимента. Для вычисления ориентировок используется специализированный метод Монте-Карло [5], зависимые ориентировки создавались с помощью модели, изложенной в статье [11]. Приводятся количественные результаты сравнения модельной ФРО с точной в однопараметрическом виде в метриках L_1 и L_2 , а также для трехмерного случая в метрике L_1 . Сравниваются ПФ для ФРО и ПФ, отвечающая ориентациям при наличии статистической зависимости элементов выборки, при помощи критерия χ^2 .

Цель работы — исследование влияния статистической зависимости ориентировок на ФРО.

Для этого проводилось моделирование зависимых ориентировок специализированным методом Монте-Карло [5], подчиняющихся центральному нормальному распределению (ЦНР) на $SO(3)$ со значением параметра $\varepsilon = 1/2$. Для создания зависимости между ориентациями использовалась модель статистической зависимости элементов выборки, представленная в работе [11]. В численных расчетах учитывалось количество сверток $n = 6$, число моделируемых ориентаций N выбрано равным 500 и 3000 для однопараметрического представления ФРО и трехмерного соответственно.

Центральное нормальное распределение с учетом меры на $SO(3)$ имеет вид [5]

$$f(t) = \sum_{l=0}^{\infty} (2l+1) \exp[-l(l+1)\varepsilon^2] \frac{\sin(l+1/2)t}{\sin t/2} \frac{1}{\pi} \sin^2 \frac{t}{2},$$

$$t \in [-\pi; \pi],$$

$$\cos \frac{t}{2} = \cos \frac{\varphi + \psi}{2} \cos \frac{\theta}{2},$$

где $\varphi, \psi \in [-\pi; \pi], \theta \in [0; \pi]$. (1)

Везде под точной ФРО будет подразумеваться частичная сумма ряда Фурье (1) с числом слагаемых, определенным из соотношения [5]

$$l_{\max} = \frac{1}{\varepsilon} \sqrt{-\ln \delta_0},$$

что обеспечивает точность вычислений $\delta_0 = 10^{-5}$.

Проведено сглаживание результатов численных экспериментов по статистическому моделированию дискретных распределений при помощи аналога метода Розенблатта – Парзена [12] для функции (1):

$$F_N(t) = \frac{1}{Nh_N} \sum_{i=1}^N q\left(\frac{t-t_i}{h}\right),$$
 (2)

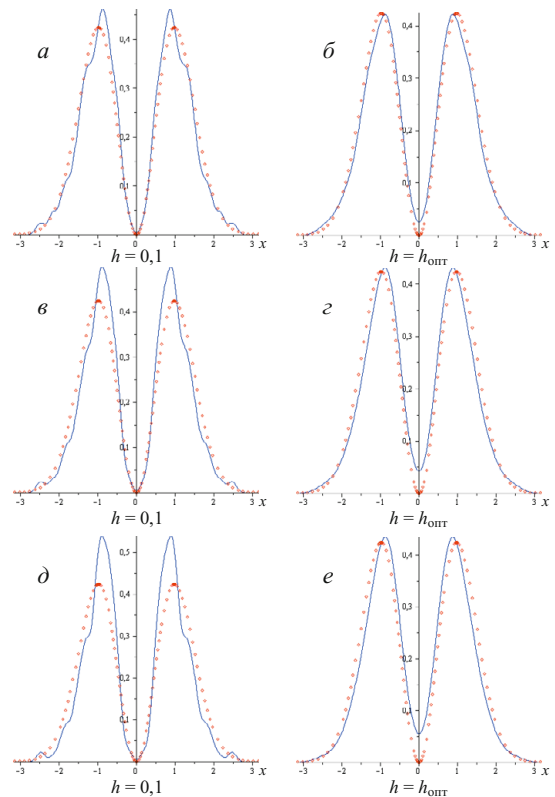


Рис. 2. Однопараметрическое представление ФРО статистической зависимости ориентировок для случаев 2 (а, б), 3 (в, г) и 4 (д, е)

где

$$q\left(\frac{t-t_i}{h}\right) = \frac{\exp\left[-\frac{(t-t_i)^2}{2h^2}\right]}{\frac{1}{2} \int_{-\pi}^{\pi} \exp\left[-\frac{(t-t_i)^2}{2h^2}\right] dt}$$

сглаживающее ядро; t_1, \dots, t_N — исходная выборка из зависимых ориентировок; h — сглаживающий параметр.

Моделировались N_1 независимых ориентировок, затем $N_2 < N_1$ ориентировок брались повторно, $N_3 < N_2$ — из второй группы и т.д.

Были рассмотрены одна независимая и три зависимых ориентации (2–4):

- 1) $k = 3, N_1 = 500$;
- 2) $k = 3, N_1 = 250, N_2 = 166, N_3 = 84$;
- 3) $k = 6, N_1 = 200, N_2 = 100, N_3 = 80, N_4 = 60, N_5 = 40, N_6 = 20$;
- 4) $k = 9, N_1 = 100, N_2 = 90, N_3 = 80, N_4 = 70, N_5 = 60, N_6 = 40, N_7 = 30, N_8 = 20, N_9 = 10$.

На рис. 2 представлены графики точной (1) (точки) и модельной функций (2) (сплошная линия) для случаев 2–4 соответственно. Рис. 2, а, в, д соответствуют $h = 0,1$; рис. 2, б, г, е — $h = h_{\text{опт}}$. При $h_{\text{опт}}$ достигается минимум отклонения модельной ФРО от точной:

$$h_{\text{опт}} = \arg \min_h \|F_N(t) - F(t)\|. \quad (3)$$

В табл. 1–3 представлены основные количественные характеристики получаемых функций распределений ориентаций: смещение координат максимума ФРО, увеличение значения максимума, отклонение от точной ФРО.

В выражении (3) норма бралась в метриках L_1 и L_2 , значения $h_{\text{опт}}$, определенные для L_1 и L_2 , приведены в табл. 2 и 3.

В табл. 2 отклонение ФРО, полученной ядерным методом, от точной определено в метрике L_1 :

$$\delta_1 = \min_h \|F_N(t) - F(t)\|_{L_1} = \min_h \int_{-\pi}^{\pi} |F_N(t) - F(t)| dt. \quad (4)$$

Табл. 3 соответствует метрике L_2 .

$$\begin{aligned} \delta_2 &= \min_h \|F_N(t) - F(t)\|_{L_2} = \\ &= \min_h \sqrt{\int_{-\pi}^{\pi} [F_N(t) - F(t)]^2 dt}. \end{aligned} \quad (5)$$

Использование $h_{\text{опт}}$ в L_1 (4) или L_2 (5) позволяет уменьшить погрешность в соответствующей норме L_1 или L_2 , но при этом предполагает знание точной ФРО $f(t)$, что на практике не выполняется.

Далее используется обобщение метода Розенблатта – Парзена на группу SO(3) с учетом инвариантной меры. В качестве оценки плотности ФРО берется величина

$$F_N(t) = \frac{1}{N(h_N)^3} \sum_{i=1}^N q_1\left(\frac{\varphi - \varphi_i}{h}\right) \times$$

$$\times q_3\left(\frac{\psi - \psi_i}{h}\right) q_2\left(\frac{\cos \theta - \cos \theta_i}{h}\right) \quad (6)$$

по выборке зависимых ориентаций $q_1, \dots, q_N, q_i = \{\varphi_i, \theta_i, \psi_i\}, i = 1, \dots, N, N = 3000$. Здесь

$$q_1(\varphi) = \frac{1}{\sqrt{2\pi}\Phi(\pi)} \exp\left(-\frac{\varphi^2}{2}\right);$$

$$q_3(\psi) = \frac{1}{\sqrt{2\pi}\Phi(\pi)} \exp\left(-\frac{\psi^2}{2}\right);$$

$$q_2(\cos \theta) = \frac{1}{\sqrt{2\pi}\Phi(1)} \exp\left[-\frac{(\cos \theta)^2}{2}\right];$$

$$-1 \leq \cos \theta \leq 1, \quad 0 \leq \theta \leq \pi. \quad (7)$$

Полученные ядерным методом оценки ФРО $F_N(t)$ (6), (7) строятся в виде трехмерных поверхностей. На рис. 3 показаны поверхности сечения ЦНР и их изолинии, вычисленные в углах Эйлера (φ, θ, ψ), $-\pi \leq \varphi, \psi < \pi, 0 \leq \theta \leq \pi$ при $\psi = \pi/2$.

Были рассмотрены одна независимая ориентация и три (2–4) зависимых:

- 1) $k = 1, N_1 = 3000$;
- 2) $k = 3, N_1 = 1500, N_2 = 1000, N_3 = 500$;
- 3) $k = 6, N_1 = 1000, N_2 = 800, N_3 = 600, N_4 = 300, N_5 = 200, N_6 = 100$;
- 4) $k = 9, N_1 = 700, N_2 = 600, N_3 = 500, N_4 = 400, N_5 = 300, N_6 = 200, N_7 = 150, N_8 = 100, N_9 = 50$.

На рис. 3, а, б представлено сечение ЦНР (1) и его изолинии.

На рис. 3, в–з изображены случаи сечения ЦНР и их зависимые изолинии для зависимых ориентировок 2–4. На каждом рисунке изображения соответствуют $h = 0,31$. Из полученных расчетов видно, что для восстановленных плотностей характерен эффект смещения \max ФРО.

В табл. 4 представлены результаты сравнения количественных характеристик получаемых функций распределений ориентаций: смещение координат мак-

Таблица 1. Количественные характеристики ФРО ($h = 0$)

Группы (случаи)	Норма L_1		
	$\frac{\max_t f_N(t) - \max_t f(t)}{\max_t f(t)}, \%$	$\min_t f_N(t)$	$\arg \max_t f_N(t) - \arg \max_t f(t)$
2	9,0	0,0048	-0,109
3	17,7	0,0055	-0,092
4	27,2	0,0055	-0,089

Таблица 2. Количественные характеристики ФРО при $h_{\text{опт}}$, найденном в метрике L_1

Группы (случаи)	Норма L_1		$\frac{\max_t f_N(t) - \max_t f(t)}{\max_t f(t)}, \%$	$\min_t f_N(t)$	$\arg \max_t f_N(t) - \arg \max_t f(t)$
	$h_{\text{опт}}$	$\delta_1, \%$			
2	0,170	10,3	0,1	0,024	-0,101
3	0,240	14,2	-0,1 (стал ниже)	0,050	-0,096
4	0,280	16,5	-0,3 (стал ниже)	0,066	-0,098

Таблица 3. Количественные характеристики ФРО при $h_{\text{опт}}$, найденном в метрике L_2

Группы (случаи)	Норма L_2		$\frac{\max_t f_N(t) - \max_t f(t)}{\max_t f(t)}, \%$	$\min_t f_N(t)$	$\arg \max_t f_N(t) - \arg \max_t f(t)$
	$h_{\text{опт}}$	$\delta_2, \%$			
2	0,175	5,1	-0,4 (стал ниже)	0,026	-0,099
3	0,225	7,1	1,6	0,043	-0,101
4	0,260	8,5	2,5	0,056	-0,105

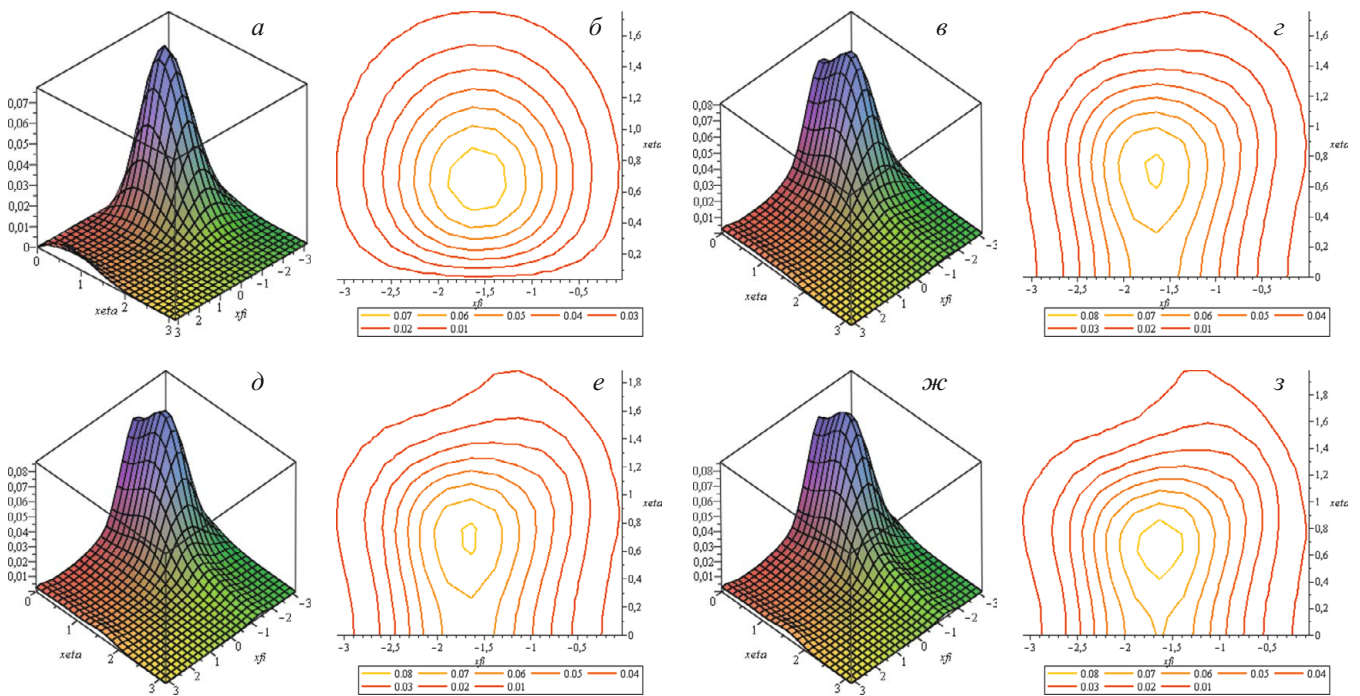


Рис. 3. Сечение точного ЦНР (а) и его изолинии (б) для случаев 2 (в, з), 3 (д, е), 4 (ж, з) зависимых ориентировок

симула ФРО $\Delta\varphi_{\max}$ и $\Delta\theta_{\max}$, увеличение значения максимума Δ_{\max} (относительно максимума точной ФРО), отклонение от точной ФРО в метрике L_1 . Здесь

$$\Delta_{\max} = \max_{\substack{-\pi \leq \varphi < \pi \\ 0 \leq \theta \leq \pi}} f_N(\varphi, \theta) - \max_{\substack{-\pi \leq \varphi < \pi \\ 0 \leq \theta \leq \pi}} f(\varphi, \theta);$$

$$\Delta\varphi_{\max} = \arg \max_{\varphi} f_N(\varphi, \theta) - \arg \max_{\varphi} f(\varphi, \theta);$$

$$\Delta\theta_{\max} = \arg \max_{\theta} f_N(\varphi, \theta) - \arg \max_{\theta} f(\varphi, \theta);$$

$$\|\Delta f\|_{L_1} = \int_{-\pi}^{\pi} \int_{-\pi}^{\pi} |f_N(\varphi, \theta) - f(\varphi, \theta)| d\varphi d\theta;$$

$$\delta = \frac{\int_{-\pi}^{\pi} \int_{-\pi}^{\pi} |f_N(\varphi, \theta) - f(\varphi, \theta)| d\varphi d\theta}{\int_{-\pi}^{\pi} \int_{-\pi}^{\pi} f(\varphi, \theta) d\varphi d\theta} \cdot 100\%.$$

Из табл. 4 видно, что с увеличением зависимости ориентировок максимум ФРО возрастает, что объясняется многократным измерением некоторых ориентировок. При увеличении количества зависимых ориентировок и их фактора повторяемости возрастает величина максимума ФРО. В работах [7, 8, 11] отмечается увеличение дисперсии при вычислении ФРО при наличии статистической зависимости ориентировок.

С помощью критерия согласия χ^2 для полюсных фигур проверяется гипотеза о совпадении смоделированной плотности распределения ориентаций с точной. Точная ПФ для ЦНР вычислялась по формуле [5]

$$P_h(\mathbf{y}) = \sum_{l=0}^{\infty} (2l+1) \exp[-l(l+1)\epsilon^2] P(\cos \tau),$$

$$\cos \tau = (\mathbf{h}, \mathbf{y}), \quad \mathbf{y} = \{\eta, \chi\}, \quad \mathbf{h} = \{\varphi, \theta\}. \quad (8)$$

При выбранном $\mathbf{h} = \{0, 0, 1\}$ ПФ принимает следующий вид:

$$P_h(\mathbf{y}) = \sum_{l=0}^{\infty} (2l+1) \exp[-l(l+1)\epsilon^2] P(\cos \chi). \quad (9)$$

По ориентировкам, полученным с помощью численного эксперимента методом Монте-Карло, находятся их проекции на сферу S^2 по формуле $\mathbf{y} = g\mathbf{h}$: (η, χ) , $0 \leq \eta < 2\pi$, $0 \leq \chi \leq \pi$. Пространство (η, χ) разбивается на ячейки.

Таблица 4. Количественные характеристики трехмерных ФРО ($h = 0,31$)

Группы (случай)	$\ \Delta f\ _4$	$\delta, \%$	$\frac{\Delta_{\max}}{\max_{\substack{-\pi \leq \varphi < \pi \\ 0 \leq \theta \leq \pi}} f(\varphi, \theta)}, \%$	$\Delta\varphi_{\max}$	$\Delta\theta_{\max}$
1	0,030	18,8	-3,4	-0,052	0,052
2	0,057	35,8	6,5	-0,084	0,042
3	0,050	31,4	6,3	-0,084	0,021
4	0,061	38,3	11,6	-0,048	0,006

Таблица 5. Значения статистики Пирсона

ε	Z				$\chi^2_{0,95,v}$
	1	2	3	4	
0,25	36,829	36,829	36,829	66,508	66,339
0,125	11,484	11,484	11,484	20,548	

Для разбиения ПФ составлялась статистика Пирсона:

$$W = N \sum_{i=1}^{v+1} \frac{1}{p_i} \left(\frac{n_i}{N} - p_i \right)^2, \quad (10)$$

где n_i — число ориентировок (η, χ), попавших в i -ую ячейку; N — число полученных ориентировок;

$$p_i = \frac{1}{2\pi} \int_{S_i} P_h(y) \frac{\sin \chi}{2} d\varphi d\chi —$$

вероятность попадания ориентировки в i -ую ячейку S_i .

Рассмотрено количество ячеек $v + 1 = 50$.

Статистики W (10), рассчитанные для разбиения ПФ на ячейки, представлены в табл. 5 для значений параметра ε , равного 1/4; 1/8.

Видно, что для случаев 1–3 статистики удовлетворяют критерию согласия с уровнем доверия 0,95, следовательно, гипотеза о совпадении ПФ принимается. В случае 4 критерий согласия не выполняется только при неострой текстуре. Более того, для 1–3 статистики совпадают. Таким образом, выявить зависимость ориентировок с помощью критерия χ^2 для ПФ в общем случае не удастся.

Таким образом, исследовалось влияние статистической зависимости элементов выборки и функции распределения ориентаций. В работе приведены количественные результаты сравнения модельной ФРО с точной в однопараметрическом виде в метриках L_1 и L_2 , а также для трехмерного случая в метрике L_1 .

При наличии статистической зависимости ориентировок наблюдается значительное возрастание максимума ФРО, что объясняется увеличением веса ориентировок, которых больше по объему в выборке. Это говорит о возрастании погрешности вычисления ФРО. Увеличение фактора зависимости между элементами выборки приводит к большему повышению погрешности вычисления ФРО.

Предпринята попытка выявления статистической зависимости между элементами выборки по полюсным фигурам, полученным из численного эксперимента, при помощи критерия согласия χ^2 . Для рассматриваемых случаев зависимости ориентировок ги-

потеза о совпадении смоделированной плотности распределения ориентаций с точной принимается с уровнем доверия 0,95 для пяти случаев из шести. Только при текстуре $\varepsilon = 1/4$ и наличии большого фактора повторяемости ориентировок наблюдается невыполнение критерия согласия χ^2 с уровнем доверия 0,95.

ЛИТЕРАТУРА

1. Schwartz A. J., Kumar M. and Adams B. L. (Editors). Electron Backscatter Diffraction in Materials Science. — New York: Kluwer Academic/Plenum Publishers, 2000. — 337 p.
2. Миронов С. Ю., Даниленко В. Н., Мышляев М. М., Корнева А. В. Анализ пространственного распределения ориентировок элементов структуры поликристаллов, получаемого методами просвечивающей электронной микроскопии и обратно рассеянного пучка электронов в сканирующем электронном микроскопе / Физика твердого тела. 2005. Т. 47. № 7. С. 1217 – 1225.
3. Bunge H. J. Physical Versus Mathematical Aspects in Texture Analysis / Textures and Microstructures. 1996. Vol. 25. P. 71 – 108.
4. Савелова Т. И., Иванова Т. М. Методы восстановления функции распределения ориентаций по полюсным фигурам (обзор) / Заводская лаборатория. Диагностика материалов. 2008. Т. 78. № 7. С. 25 – 33.
5. Савелова Т. И., Иванова Т. М., Сыпченко М. В. Методы решения некорректных задач текстурного анализа и их приложения. — М.: НИЯУ МИФИ. 2012. — 268 с.
6. Боровков М. В., Савелова Т. И., Серебряный В. Н. Исследование статистических ошибок рентгеновского текстурного эксперимента по измерению полюсных фигур с использованием метода Монте-Карло / Заводская лаборатория. Диагностика материалов. 2005. Т. 21. № 12. С. 19 – 24.
7. Boogaart K. G. Statistic for individual crystallographic orientation measurement. PHD thesis. — TU Freiberg, Germany, 2002. — 161 p.
8. Boogaart K. G. Statistical Errors of Texture Entities Based on EBSD Orientation Measurements / Material Science Forum. ICOTOM 14. 2005. P. 179 – 184.
9. Bozzolo N., Gerpach F., Sawina G. and Wagner F. Accuracy of Orientation Distribution Function Determination based on EBSD data. A case study of a recrystallized low alloyed Zr sheet / J. Microscopy. 2007. Vol. 227. P. 245 – 283.
10. Сыпченко М. В., Савелова Т. И. Некоторые проблемы измерений ориентаций отдельных зерен и вычисление усредненных упругих свойств магния / Заводская лаборатория. Диагностика материалов. 2010. Т. 76. № 6. С. 39 – 44.
11. Савелова Т. И., Сыпченко М. В. Оценка точности для восстановления функции распределения зерен по ориентациям для зависимых ориентаций и с учетом размеров зерен / Журнал вычислит. матем. и матем. физ. 2007. Т. 49. № 5. С. 879 – 890.
12. Савелова Т. И., Сыпченко М. В. Исследование точности моделирования текстуры поликристалла по данным измерений отдельных ориентировок / Кристаллография. 2010. Т. 55. № 4. С. 744 – 748.
13. Лагутин М. Б. Наглядная математическая статистика. — М.: Бинум, 2013. — 471 с.